

مطالعه‌ی مقاومت خراشی پلی اتیلن و کامپوزیت تقویت شده آن با نانوذرات کربنات کلسیم

نسیم بازوبندی^{۱*}، سید مجتبی زبرجد^۲ و سید عبدالکریم سجادی^۲

چکیده

در این پژوهش، بمنظور بررسی نقش نانوذرات کربنات کلسیم بر مقاومت خراش پلی اتیلن (PE)، آزمون خراش در شرایط گوناگون انجام پذیرفت. بدین منظور در ابتدا نمونه‌های نانوکامپوزیتی زمینه PE تقویت شده با درصدهای وزنی متفاوت از نانوذرات کربنات کلسیم (۰، ۵، ۱۰ و ۷/۵) تولید گردید. برای بررسی ریزساختار نمونه‌های پلی اتیلن و پلی اتیلن تقویت شده با ۱۰٪ وزنی نانوذرات کربنات کلسیم، این نمونه‌ها در حلال تولوئن تبلور یافته‌ند و بعد از اج شدن با محلولی حاوی پتاسیم پرمونگات، با استفاده از میکروسکوپ SEM مورد مشاهده قرار گرفتند. نمونه‌های نانوکامپوزیتی با استفاده از یک خراشندی مخروطی و در نیروهای عمودی ۵، ۱۵ و ۲۵ نیوتن گرفتند. سرعت خراش mm/s ۱ مورد ارزیابی قرار گرفتند. برای بیان مقاومت ماده در مقابل فرایند خراشیدن، سختی خراش هر نمونه بدست آورده شد. سطح تعدادی از نمونه‌های خراش یافته بهوسیله میکروسکوپ الکترونی مورد ارزیابی قرار گرفت. تصاویر ریزساختار نمونه‌ها نشان می‌دهد که با افزودن نانوذرات کربنات کلسیم به پلی اتیلن، قطر اسفلولیت‌های نواری کاهش می‌یابد. نتایج آزمون خراش بیان می‌کند که افزودن نانوذرات کربنات کلسیم، به پلی اتیلن در تمام نیروهای عمودی و موجب افزایش مقاومت خراش نمونه‌ها می‌شود. البته این روند افزایش در نیروهای عمودی کوچکتر، محسوس‌تر می‌باشد. با مقایسه‌ی پلی اتیلن و نانوکامپوزیت حاوی ۱۰٪ وزنی کربنات کلسیم، مکانیزم تغییرشکل در نیروی کمتر از ۲۵ نیوتن، برای هر دو بکسان بوده و از نوع شخم زدن نرم است. در حالی که در نیروی ۲۵ نیوتن، برای PE، آسیب پولک ماهی و برای کامپوزیت از نوع سیلان مومسان می‌باشد.

واژه‌های کلیدی: پلی اتیلن، نانوذرات کربنات کلسیم، فیلم، تغییرشکل سطحی، خراش.

۱- کارشناس ارشد مهندسی مواد دانشگاه فردوسی مشهد

۲- استاد دانشگاه فردوسی مشهد

*- نویسنده مسئول مقاله: N.Bazoubandi@gmail.com

می‌دهد [۳]. متغیرهای خارجی که بر آزمون خراش تاثیرگذارند شامل نیروی عمودی خراش، هندسه‌ی خراشنده که مقدار کرنش اعمال شده را تعیین می‌کند، سرعت خراش، ویژگی‌های اصطکاکی فصل مشترک و دمای آزمون می‌باشد [۵].

یکی از روش‌های بهبود مقاومت سطحی این مواد، نانوکامپوزیت کردن آنها می‌باشد. در حقیقت نانوکامپوزیت‌های پلیمری، پلیمرهایی هستند که با ذراتی در ابعاد نانو، معمولاً در بازه‌ی ۱-۱۰۰ nm تقویت می‌شوند. این مواد، در مقایسه با کامپوزیت‌های تقویت شده با پرکننده‌هایی با ابعاد میکرون، خواص مکانیکی، حرارتی، الکتریکی و مقاومتی بهتری، نشان می‌دهند. تقویت کردن پلیمرها، با نانوذرات، مدول الاستیک و استحکام کششی را بهبود می‌بخشد. این اعتقاد وجود دارد که شکل-گیری موضعی و کلی پلیمرها در مجاورت نانوذرات، به علت عکس العمل ذره و زمینه و محبوس شدن زنجیره‌های پلیمری، با پلیمر بدون حضور نانوذرات، متفاوت است [۶].

پلی اتیلن با توجه به کاربرد فراوانی که در زمینه‌های گوناگون دارد، ولی یک محدودیت قابل توجه دارد و آن مقاومت کم این ماده نسبت به آسیب خراش است. بمنظور بهبود رفتار مکانیکی پلی اتیلن، افزودن فاز سرامیکی بسیار رایج است. با وجود پژوهش‌هایی که در رابطه با رفتار خراش پلیمرها و نانوکامپوزیت‌های آنها، وجود دارد اما هنوز رفتار خراش نمونه‌های پلی اتیلن و کامپوزیت تقویت شده با نانوذرات کربنات کلسیم مورد بررسی قرار نگرفته است. بنابراین، در این پژوهش، اثر نانوذرات کربنات کلسیم، روی رفتار خراش فیلم پلی اتیلن از جنبه‌ی پنهان، سختی خراش و مکانیزم تغییرشکل، مورد ارزیابی قرار گرفته است.

مواد و روش پژوهش

مواد اولیه

در این پژوهش از پلی اتیلن با چگالی متوسط با نام تجاری P3840 UA، مخصوصی از شرکت

پیشگفتار

کاربرد پلیمرهای گرمانرم، در صنایع خودروسازی، هواپضا، الکترونیک و غیره، که در آنها مقاومت ماده به آسیب سطحی اهمیت بالایی دارد، به صورت قابل توجهی رو به گسترش است. گرمانرم-هایی همچون پلی اتیلن، مقاومت شیمیایی بسیار خوبی دارند، در حالی که حساسیت آنها به آسیب سطحی از جمله خراش، یک مسئله‌ی جدی است [۱]. برای این که پلیمرها، ظاهر خوب داشته باشند، نیاز است که حساسیت کمتری به آسیب سطحی مکانیکی (همچون مقاومت خراشی خوب) از خود بروز دهد و سفید شدن ناشی از تنش^۱ در آنها رخ ندهد. سفید شدن ناشی از تنش، از لحاظ زیبایی ظاهری پلیمر نامطلوب است [۲]. البته در این بین نگرانی بسیار مهمتری در مورد خراش‌ها وجود دارد. سطح خراش‌ها می‌تواند به عنوان نقاط تمرکز تنش عمل کند که ظرفیت تحمل محصولات را کاهش می‌دهد و در نهایت منجر به شکست و از دست رفتن ناگهانی آنها می‌شود، مخصوصاً اگر در معرض بارگذاری کششی، ضربه یا خستگی قرار گیرد [۳]. در مورد بارگذاری کششی و خستگی، می‌توان به این صورت مطرح کرد که مکانیزم‌های جذب انرژی تحت تنش موجود تقریباً توان خود را از دست می‌دهند؛ پس کاربرد تنش بیشتر که در بارگذاری بوجود می‌آید، منجر به شکست زودتر خواهد شد. بنابراین، برای افزایش کاربرد مواد پلیمری گرمانرم، کاهش حساسیت به آسیب خراش در آنها، بسیار مهم است [۱].

تغییر شکل خراش به شدت به درصد بلورینگی، وزن مولکولی، مدول و استحکام تسليم وابسته است. مدول و تنش تسليم بزرگتر، مقاومت خراش را افزایش می‌دهند [۴]. پلیمرهایی با زنجیره‌های مولکولی کوچک‌تر، مقاومت خراش بیشتری در مقایسه با پلیمرهایی با زنجیره‌های بلندتر، نشان می‌دهند. همچنین بیان شده است که افزایش بلورینگی، مقاومت خراش پلیمر را افزایش

^۱- Stress Whitening

خراسنده‌ی آن از نوع فرورونده‌ی راکول C است که روی بازوی ثابت دستگاه، نصب شده است. بمنظور اعمال نیروی عمودی خراش، از وزنه‌های گوناگون استفاده می‌شود. برای آزمون خراش، فیلم مورد آزمایش روی صفحه‌ی متحرک ثابت شده و نیروی خراش در دمای اتاق روی سطح نمونه‌ها اعمال شد. در این پژوهش، سه نیروی عمودی ۵، ۱۵ و ۲۵ نیوتن در سرعت خراش ثابت ۱ mm/s، اعمال شد و خراش‌هایی با طول ۳ cm ایجاد گردید. شکل (۲) تصویر شماتیکی از دستگاه خراش توصیف شده و اجزاء آن را نشان می‌دهد. برای اندازه‌گیری پهنای خراش پلی‌اتیلن خالص و نانوکامپوزیت‌هایش، برای هر ماده تعداد ۵ نمونه در شرایط مشابه مورد آزمون خراش قرار گرفته و پهنای آن در ۱۰ ناحیه، اندازه‌گیری شد و متوسط آنها، ارائه گردید.

ارزیابی میکروسکوپی

بمنظور بررسی ظاهر و ابعاد آسیب خراش ایجاد شده روی فیلم‌های پلی‌اتیلنی و نانوکامپوزیت‌های آن، از میکروسکوپ نوری و میکروسکوپ الکترونی روبشی (SEM) مدل Leo 1450 ساخت شرکت فیلیپس، استفاده گردید. به دلیل نارسانا بودن نمونه‌ها و جلوگیری از تجمع الکترون، روی سطح آنها، لایه‌ی نازکی از آلیاژ طلا - پالادیم پوشش داده شد.

نتایج و بحث

نقش نانوذرات بر روی ریزساختار پلی‌اتیلن شکل‌های (۳) و (۴)، به ترتیب نشان‌دهنده‌ی تصاویر SEM از سطح نمونه‌های متبلور شده‌ی پلی‌اتیلن و پلی‌اتیلن - ۱۰ wt% کربنات کلسیم در حلal تولوئن، است. با توجه به تصاویر، ساختار اسفلولیت نواری ۲ که مشخصه‌ی آن نوارهای متحدم‌مرکزی است که از یک هسته‌ی مرکزی رشد کرده‌اند [۱]، در هر دو نمونه وجود دارد. در این تصاویر ساختار لایه‌ای اسفلولیت مخصوصاً برای

پتروشیمی ارک، به عنوان زمینه کامپوزیت استفاده شد. از نانوذرات کربنات کلسیم رسوبی^۱ با نام Solvay 312 و محصولی از شرکت Socal^۲ تقویت کننده، استفاده شد. ذرات با ظاهری نامنظم و ابعاد حدود ۷۰ نانومتر بوده که در شکل (۱) تصویر میکروسکوپ الکترونی عبوری از این ذرات ارائه شده است.

نمونه‌سازی

برای تهیه‌ی نمونه‌های پلی‌اتیلن خالص و نانوکامپوزیت‌های پلی‌اتیلن پرشده با نانوذرات کربنات کلسیم با درصدهای وزنی ۵، ۱۰ و ۷/۵، پودر پلی‌اتیلن به همراه درصد وزنی مناسبی از پودر کربنات کلسیم، در دستگاه مخلوطکن Retsch مدل MM400 ساخت شرکت Kşشور آلمان به مدت ۱۰ دقیقه با فرکانس ۲۰ Hz مخلوط شد. مخلوطکن مشکل از دو استوانه با حجم mL ۵۰ بوده که در هر استوانه ۳۹ گلوله با قطر mm ۱۰ و ۳۸ گلوله با قطر ۴ mm به کار رفت. در مرحله بعد برای تولید فیلم‌های پلی‌اتیلن خالص و تقویت شده با نانوذرات کربنات کلسیم، پودر موردنظر در دمای ۱۰-۱۵۰°C به مدت ۱۵ دقیقه، تحت قالب‌گیری فشاری قرار گرفتند و نمونه‌های تولید شده در دمای محیط خنک شدند. برای بررسی ریزساختار نمونه‌ی پلی‌اتیلن و کامپوزیت حاوی ۱۰٪ وزنی کربنات کلسیم، نمونه‌ها در حلal تولوئن متبلور شدند. سپس با استفاده از محلولی حاوی اسید سولفوریک، اسید فسفویک و پتاسیم پرمگنات، به ترتیب با نسبت‌های وزنی ۶۵/۸، ۳۲/۹ و ۱/۳ Wt% اج شدند [۱].

آزمون خراش

دستگاه آزمون خراش مورد استفاده، دارای یک صفحه‌ی متحرک و یک بازوی ثابت بوده که سوزن

^۱- Banded Spherulite

^۲- Precipitated Calcium Carbonate

نانوکامپوزیت نسبت به پلیمر خالص، بیشتر است. از این‌رو، توقف رشد اسفلولیت‌ها با برخورد با اسفلولیت‌های دیگر در نانوکامپوزیت نسبت به پلیمر خالص، زودتر اتفاق می‌افتد و اسفلولیت‌های کوچکتری در نانوکامپوزیت مشاهده می‌شود [۷]. بنابراین، علت کاهش اسفلولیت‌های پلی‌اتیلن، در حضور ۱۰ درصد وزنی کربنات کلسیم، نیز به افزایش مناطق جوانه‌زنی برمی‌گردد. اگرچه که اسفلولیت‌ها، از نظر علمی مورد توجه هستند ولی از لحاظ صنعتی نیز دارای اهمیت می‌باشند، زیرا ساختار اسفلولیتی، می‌تواند با خواص مکانیکی ضعیف و ترک‌زایی همراه باشد؛ از این‌رو، افزودن عوامل جوانه‌زا، برای کاهش ابعاد اسفلولیت به مقادیری کمتر از میکرون، رایج است [۸].

نقش نانوذرات بر روی سختی خراش پلی‌اتیلن برای مقایسه‌ی پهنه‌ای خراش در پلی‌اتیلن و نانوکامپوزیت‌های تقویت‌شده آن با درصدهای وزنی ۵، ۷/۵ و ۱۰٪، نمودار پهنه‌ای متوسط شیار خراش، برای نیروهای عمودی ۵، ۱۵ و ۲۵ نیوتون، در شکل (۵) رسم شده است. به‌گونه‌ی کلی با مشاهده نمودار می‌توان ادعا کرد که افزودن نانوذرات کربنات کلسیم باعث کاهش پهنه‌ای خراش در هر کدام از نیروهای عمودی خراش می‌شود. چنین تاثیر مثبتی از نانوذرات بر کاهش پهنه‌ای خراش پلیمر در آزمون خراش پلیمر^۲ PMMA تقویت شده با نانوذرات آلومینا نیز ذکر شده است [۹]. نکته‌ی دیگری که از نمودار می‌توان برداشت کرد این است که با افزایش نیروی خراش، تاثیر مثبت افزایش درصد وزنی کربنات کلسیم برای کاهش پهنه‌ای خراش، کاهش می‌یابد.

عدد سختی خراش کمیتی است که با عبارت نیرو بر واحد مساحت بیان می‌شود، که مقاومت سطح جامد به فرورفتگی در مقابل یک سوزن متحرک با شعاع نوک معین و تحت نیروی عمودی و سرعت ثابت را توصیف می‌کند. بر طبق استاندارد

پلی‌اتیلن خالص کاملاً آشکار است و می‌توان نوارهای بر جسته‌ای را مشاهده کرد که در واقع تجمعی از لایه‌های بلورین پلیمر هستند که به صورت موازی در کنار یکدیگر قرار گرفته‌اند. تصویر SEM برای اسفلولیت‌های پلی‌اتیلن - ۱۰ درصد وزنی نانوذرات کربنات کلسیم، نشان‌دهنده‌ی حفرات فراوانی است که در بین نوارهای اسفلولیت وجود دارد. برای تشکیل یک اسفلولیت، لایه‌های پلیمری در سه بعد رشد کرده و یک کره را بوجود می‌آورند. اما زمانی که نانوذرات کربنات کلسیم در زمینه وجود داشته باشند، همچون سدهایی بر سر راه لایه‌های در حال رشد قرار می‌گیرند. بنابراین، رشد لایه‌ها با رسیدن به این ذرات متوقف می‌شود درنتیجه فضای جلوی آنها خالی می‌ماند و ظاهر یک حفره را بوجود می‌آورد.

با مقایسه‌ی تصاویر می‌توان کاهش ابعاد اسفلولیت‌ها را در حضور فاز تقویت‌کننده‌ی کربنات کلسیم، مشاهده کرد. ابعاد اسفلولیت‌ها با استفاده از تصاویر SEM، اندازه‌گیری شد که متوسط این مقدار برای پلی‌اتیلن خالص، $22/3 \mu\text{m}$ و برای پلی‌اتیلن - ۱۰ درصد وزنی کربنات کلسیم، $14/6 \mu\text{m}$ است. این کاهش ابعاد اسفلولیت ناشی از حضور نانوذرات کربنات کلسیم، است.

در حقیقت نانوذرات کربنات کلسیم موجود در زمینه‌ی پلی‌اتیلن، به عنوان عوامل جوانه‌زا برای جوانه‌زنی ناهمگن^۱ بشمار می‌رond. هنگامی که یک نانوکامپوزیت پلیمری متبلور می‌شود، مکان‌های فراوانی برای جوانه‌زنی اسفلولیت وجود دارد که موجب می‌شود، جوانه‌های زیادی در حین تبلور تشکیل شوند. هم‌چنین ذرات پرکننده، همچون موادی هستند که باعث اختلال در حرکت زنجیره‌های پلیمری می‌شوند؛ بنابراین، سرعت رسیدن زنجیره‌ها به لایه‌های بلورین در حال رشد، برای کامپوزیت کمتر از پلیمر خالص می‌باشد. با در نظر گرفتن این تاثیرات، می‌توان بیان کرد که نسبت سرعت جوانه‌زنی اسفلولیت به سرعت رشد آن، در

² - PMMA: Poly(methyl methacrylate)

^۱ - Heterogeneous

نخواهد ماند که بتوان آن را خراش نامید و پهنانی آن را بدست آورد و در نتیجه سختی خراش هم برای این مورد وجود ندارد. یک ماده‌ی ویسکوالاستیک، رفتاری مابین دو حالت قبل دارد و شکل هندسی منطقه‌ی تماس، ظاهری بین نیم دایره و دایره کامل دارد و از این رو مقادیر مابین ۱ و ۲ فرض می‌شود ($q < 2$ > 1) [۱۲,۱۱].

این نکته قابل ذکر است که روش مشخصی برای اندازه‌گیری تجربی مقدار q ، وجود ندارد و در منابع علمی هم، مقدار تجربی یا تئوری q برای پلیمرها ارائه نشده است. از این جهت تعدادی از محققان به صورت اختیاری مقدار q را معادل با ۱ و تعدادی معادل به $1/5$ در نظر گرفته‌اند. با این حال، برای این پژوهش q معادل با $1/5$ اختیار شد تا تغییرشکل ناشی از خراش برای پلی‌اتیلن و نانوکامپوزیت‌هایش، حالتی بین تغییرشکل الاستیک کامل و مومسان کامل در نظر گرفته شود.

مقادیر سختی خراش برای پلی‌اتیلن و نانوکامپوزیت‌هایش، با استفاده از پهنانی خراش متوسط، با استفاده از رابطه‌ی (۲) محاسبه شد. در شکل (۶)، منحنی سختی خراش برای پلی‌اتیلن و نانوکامپوزیت‌های حاوی 5% و 10% درصد وزنی کربنات کلسیم، در نیروهای عمودی خراش 5% و 15% نیوتون، بر حسب درصد فاز تقویت‌کننده، ارائه شده است. بر طبق منحنی، مشاهده می‌شود که سختی خراش با افزایش درصد فاز تقویت‌کننده کربنات کلسیم افزایش یافته است و نهایتاً فیلم نانوکامپوزیت پلی‌اتیلن تقویت شده با 10% درصد وزنی کربنات کلسیم در نیروی $N = 5$ ، بیشترین سختی خراش یعنی $MPa = 77/5$ را دارد. بنابراین، نانوذرات کربنات کلسیم به عنوان یک تقویت‌کننده موجب افزایش مقاومت نانو کامپوزیت پلی‌اتیلن، در مقابل آسیب خراش می‌شود.

همان‌گونه که در شکل (۶) مشاهده می‌شود، با افزایش نیروی عمودی، عدد سختی برای نانوکامپوزیت‌ها، کاهش می‌یابد، در حالی که مقدار سختی برای پلی‌اتیلن خالص، تقریباً ثابت است.

[۱۰] ASTM SXTI خراش مشابه با روش محاسبه‌ی سختی در دندانه‌گذاری عمودی، از تقسیم نیروی عمودی به مساحت تماس، تعیین می‌شود که در رابطه‌ی (۱) ارائه شده است.

$$(1) H_s = \frac{8F_n}{\pi w^2}$$

در رابطه‌ی بالا H_s ، سختی خراش بر حسب F_n MPa، نیروی عمودی اعمال شده بر حسب N و w پهنانی خراش بر حسب mm است.

رابطه‌ی قبل برای محاسبه‌ی سختی خراش پلیمرها مناسب نمی‌باشد، زیرا پلیمرها رفتار ویسکوالاستیک - مومسان دارند. هنگامی که در فرایند خراش مقداری تغییرشکل مومسان رخ دهد، ماده‌ی پلیمری در حین خراش، نیمه‌ی جلویی خراشنده را به‌گونه کامل تحمل می‌کند ولی تهیه بخشی از نیمه‌ی عقبی آن را تحمل می‌کند که اندازه‌ی بخشی که به‌وسیله ماده در نیمه‌ی عقبی نوک خراشنده تحمل می‌شود، به مقدار بازیابی پلیمر بستگی دارد. بنابراین، برای عکس‌العمل‌های ویسکوالاستیک - مومسان، سختی خراش H_s ، با استفاده از رابطه‌ی (۲) محاسبه می‌شود [۱۲,۱۱]:

$$(2) H_s = q \frac{4F_n}{\pi w^2}$$

در رابطه‌ی (۲)، پارامتر q برای مواد گوناگون، متفاوت است و به چگونگی تحمل خراشنده به‌وسیله ماده مرتبط است. برای مواد با تغییرشکل کاملاً مومسان، بعد از تغییرشکل هیچ‌گونه بازیابی^۱ رخ نمی‌دهد و از این‌رو، نمونه، نیمه‌عقبی خراشنده را حمل نمی‌کند و تنها نیمه‌ی جلویی به‌وسیله نمونه حمل می‌شود. پس مقدار q برای این گروه از مواد ۲ در نظر گرفته می‌شود، زیرا شکل هندسی محل تماس خراشنده و سطح نمونه، نیم‌دایره است. برای ماده‌ای که در محل تماس رفتار کاملاً الاستیک دارد، برگشت آنی به حالت اولیه بعد از تغییرشکل خراش، باعث می‌شود که نمونه، به‌گونه کامل نیمه‌ی عقبی خراشنده را حمل کند و شکل هندسی تماس برای این مورد، دایره‌ی کامل است. با این حال برای این ماده، بعد از عبور خراشنده، هیچ شیاری باقی

^۱- Recovery

وابسته است [۱۳]. پس افزایش درصد کربنات کلسیم باعث افزایش مدول الاستیک و در نتیجه کاهش عمق خراش و پهنای خراش می‌شود ولی از سویی دیگر باعث افزایش مقدار تنش کششی در پشت خراشند، می‌گردد. این رفتار در نتایج تانیرو و همکارانش^۱ [۱۱] بر روی رفتار خراش نمونه‌های پلی-اتیلن تقویت شده با کربنات کلسیم، نیز بیان شده است. افزایش تنش کششی پشت نوک خراشند، موجب کشیده شدن سطح نمونه در پشت خراشند می‌شود و از این‌رو، مقدار تغییرشکل سطح را افزایش می‌دهد و در نتیجه پهنای خراش را بیش‌تر می‌کند. با این شرایط، تقابل پیچیده‌ی بین این دو اثر تعیین می‌کند که پهنای خراش با افزایش درصد فاز تقویت‌کننده، افزایش یا کاهش یابد. با توجه به این که در نانوکامپوزیت مورد بحث، پهنای خراش با افزایش درصد CaCO_3 ، کاهش می‌یابد، می‌توان نتیجه گرفت که اثر کاهش عمق فرورفتن ناشی از افزایش مدول، نسبت به افزایش تنش کششی پشت خراشند، غالب‌تر است. ولی با افزایش نیروی عمودی خراش، نقش تنش کششی ناشی از خراش، بیش‌تر می‌شود، در حالی که نقش مدول الاستیک در کاهش عمق فرو رفتن خراشند در سطح نمونه، تغییری نمی‌کند.

علت کاهش سختی خراش با افزایش نیروی عمودی خراش برای نانوکامپوزیت‌های پلی‌اتیلن، را نیز می‌توان به افزایش تنش کششی نسبت داد. هرچه نیروی عمودی بیش‌تر شود، این تنش افزایش بیش‌تر می‌یابد. با توجه به حضور نانوذرات در زمینه، تنش بیش‌تر منجر به افزایش تمرکز تنش در نواحی فصل مشترک و احتمالاً جدایش در این نواحی شده، و همین پدیده عاملی برای افزایش تغییر شکل مومسان در نیروهای عمودی بزرگ‌تر می‌شود. بنابراین، کاهش سختی خراش در نانوکامپوزیت‌ها مشاهده می‌شود، در حالی که این روند برای پلی‌اتیلن وجود ندارد.

بر اساس بررسی‌های گوناگون که به‌وسیله محققان انجام شده، این نتیجه حاصل شده است که مدول الاستیک و تنش تسلیم دو خاصیت مهم مکانیکی هستند که مقاومت ماده به تغییرشکل خراش را تعیین می‌کنند. به‌گونه کلی مدول الاستیک و تنش تسلیم بزرگ‌تر، موجب مقاومت بیشتر ماده به تغییرشکل خراش می‌شود [۱۳,۴]. مدول و تنش تسلیم بزرگ‌تر، با رفتار الاستیکی بیش‌تری همراه است که برای بهبود مقاومت ماده به آسیب ناشی از خراش هم در سطح و هم در زیرسطح، بسیار با اهمیت است. زیرا مدول و بازیابی الاستیک، عمق باقیمانده‌ی خراش و تنش تسلیم وسعت منطقه‌ی مومسان را در ماده‌ی پلیمری خراشیده شده، تعیین می‌کند [۱۳,۴]. بنابراین، فرایند خراش در پلیمرهایی با سخت‌پایی بیش‌تر، عمق کم‌تری ایجاد می‌کند و در پلیمرهایی که تنش تسلیم بزرگ‌تری دارند، منطقه‌ای که سیلان مومسان ناشی از خراش در آن رخ داده، کوچک‌تر است. البته وجود مدول الاستیک بزرگ علاوه بر کاهش عمق نفوذ خراشند، موجب افزایش تنش کششی در طول خراش و دقیقاً روی سطح ماده و در پشت خراشند-ی متحرک، می‌گردد [۱۳,۴].

بر طبق نتایج پژوهش صاحبیان و همکارانش [۱۴] بر روی مواد مشابه، بیان شده است که افزایش درصد فاز تقویت‌کننده‌ی CaCO_3 در زمینه‌ی پلی‌اتیلن، موجب افزایش مدول الاستیک و تنش تسلیم، می‌شود. بنابراین، می‌توان نتیجه گرفت که کاهش پهنای خراش و نتیجتاً افزایش سختی خراش، با افزایش درصد کربنات کلسیم، به علت افزایش تنش تسلیم و مدول الاستیک در این نانوکامپوزیت‌ها است.

همان‌گونه که قبلاً بیان شد، با افزایش نیروی عمودی خراش، اثر مثبت کاهش پهنای خراش نانوکامپوزیت‌ها، کاهش می‌یابد. علت این رفتار را می‌توان به افزایش تنش کششی اعمال شده در پشت خراشند، در حین خراش نسبت داد زیرا مقدار این تنش به شدت به مدول الاستیک نمونه

^۱- M.Tanniru *et al*

مومسان است که ظاهر آن به صورت آسیب مقعر شکل متناوبی است که به جهت خراش اشاره دارد و اغلب با کشش مومسان نمونه، زیر نوک خراشنده بوجود می‌آید و یکی از اشکال رایج برای آسیب پلیمرهای پایه پلیپروپیلنی است [۱۲]. پدیده‌ی "چسبیدن - لغزش"^۴، هنگامی که در طول خراش، تغییرات متناوبی در سرعت واقعی خراشنده نسبت به سطح ماده اتفاق بیفتد، رخ می‌دهد. این تغییر در سرعت خراش، به دلیل ماهیت تماس سطحی بین خراشنده و سطح ماده، محلی که چسبیدن و جدا شدن نوک خراشنده و ماده به صورت موضعی و مکرر رخ می‌دهد، بوجود می‌آید. هنگامی که سرعت حرکت نوک خراشنده نسبت به سطح ماده، افت می‌کند، پدیده‌ی "چسبیدن" رخ می‌دهد. در طول مرحله‌ی "چسبیدن" با این که تقریباً نوک خراشنده و سطح نسبت به هم حرکتی ندارند ولی خراشنده اعمال تنش به سطح ماده را ادامه می‌دهد که منجر به تغییرشکل ماده‌ی زیر خراشنده می‌شود. تنش‌های افقی که در طول مرحله‌ی "چسبیدن" اعمال می‌شود، کمتر از تنش بحرانی ماده است اما با گذشت زمان افزایش می‌یابد. پس از این که این تنش‌ها به تنش بحرانی ماده رسیدند، مرحله "لغزش" شروع می‌شود. در نتیجه سرعت حرکت نوک خراشنده نسبت به سطح ماده تا مقدار سرعت اسمی خراش (سرعتی که به عنوان سرعت خراش اعلام می‌شود) افزایش می‌یابد، زیرا مقاومت در مقابل حرکت نوک خراشنده، کاهش یافته است. در طول مرحله‌ی "لغزش" خراشنده از روی برآمدگی ناشی از تجمع ماده‌ی جلوی خراشنده، می‌لغزد که در این مرحله نوک خراشنده ممکن است تماس کامل خود را با سطح ماده از دست بدهد. پس از این که تنش اعمال شده به مقادیر کمتر از تنش بحرانی افت پیدا کرد، مرحله‌ی "لغزش" پایان می‌یابد و در نتیجه مرحله‌ی "چسبیدن" هنگامی که بین خراشنده و سطح ماده، تماس مجدد برقرار می‌شود، آغاز می‌گردد [۱۲, ۱۱].

⁴- Stick-Slip

نقش نانوذرات بر روی مکانیزم تغییرشکل خراش پلی‌اتیلن

در شکل (۷) تصاویر میکروسکوپ نوری از سطح خراش فیلم پلی‌اتیلن و نانوکامپوزیت حاوی ۱۰ درصد وزنی کربنات کلسیم، در نیروهای خراش ۵ و ۱۵ نیوتن، ارائه شده است. با توجه به تصاویر میکروسکوپ نوری، مشاهده می‌شود که در نیروهای ۵ و ۱۵ نیوتن، مکانیزم تغییر شکل مشابهی برای پلی‌اتیلن و نانوکامپوزیت حاوی ۱۰٪ کربنات کلسیم، وجود دارد که هیچ مشخصه‌ی ظاهری خاصی همچون پارگی یا ترک ندارد. بنابراین، طبق تعریف انواع تغییر شکل این مکانیزم تغییر شکل موسمان از نوع "شخم‌زدن نرم"^۱ می‌باشد [۱۱].

با توجه به نقشه‌های خراش (یا نقشه‌های تغییرشکل خراش) که بر حسب نیروی عمودی و زاویه‌ی خراشنده مخروطی (مقدار کرنش اعمال شده)، به وسیله برسکو و همکارانش^۲ برای پلی‌اتیلن تهیه شده است، مد تغییرشکل غالب که در حین خراش در سطح پلی‌اتیلن ایجاد می‌شود، "شخم زدن نرم" است [۱۲]. هنگامی که پلیمر خراشیده شده نرم باشد، یا شدت تغییرشکل خراش کم باشد، مکانیزم تغییرشکل "شخم‌زدن انعطاف‌پذیر" است که در آن هیچگونه شکست و پارگی ماده وجود ندارد [۱۱]. بنابراین این نقشه‌ها، وجود چنین مکانیزمی در نمونه‌های پلی‌اتیلن و نانوکامپوزیت‌هایش، را تصدیق می‌کند.

شکل (۸) تصویر SEM از سطح فیلم پلی‌اتیلن که در نیروی عمودی ۲۵ نیوتن خراشیده شده، را نشان می‌دهد. همان‌گونه که در تصویر مشاهده می‌شود، تغییرشکل غالب همچنان "شخم‌زدن" است که ترک‌هایی سهمی‌گون و متناوب که جهت خراش را نشان می‌دهند، در قسمت میانی شیار خراش وجود دارد. با توجه به ظاهر سطح خراش، می‌توان آن را آسیب "پولک ماهی"^۳ نامید [۱۳]. آسیب پولک ماهی نوعی از تغییرشکل

¹-Ductile Ploughing²-B. J. Briscoe *et al*³-Fish-Scale

باشد. با وجود سیلان موسمان، ولی همچنان ماهیت متنابع در آسیب خراش مشاهده می‌شود که ناشی از پدیده‌ی "چسبیدن - لغزش" است و تقریباً ترک-هایی سه‌می‌گون، مشابه با پلی‌اتیلن خالص، می‌توان در سطح خراش کامپوزیت مشاهده کرد.

در شکل (۹)، ناحیه‌ی ناشی از پارگی پلیمر در سطح خراشیده شده‌ی نانوکامپوزیت حاوی ۱۰٪ کربنات کلسیم، با دایره سفید مشخص شده است. با توجه به این که هرچه ذرات تقویت کننده، ریزتر و درصد وزنی به کار رفته در کامپوزیت، بیشتر باشد، امکان آگلومره شدن آنها بیشتر می‌گردد. در نتیجه نانوذرات بیشتر تمایل به آگلومره شدن دارند. با افزایش اندازه‌ی نانوذرات به واسطه‌ی آگلومره شدن آنها، تمرکز تنفس در نواحی اطراف این ذرات به مقدار زیادی افزایش می‌یابد. هم‌چنین فصل مشترک این نانوذرات آگلومره شده، با زمینه، استحکام پایینی داشته و حفراتی در این نواحی ایجاد شده که با ادامه روند اعمال تنفس، این ریزحرفات به هم متصل شده و باعث ایجاد ترک و گسترش آن می‌شوند. به‌گونه کلی نقش ذرات آگلومره شده بر تمرکز تنفس به دو قسمت تقسیم می‌شود که اوّل آگلومره شدن باعث کاهش نقاط تمرکز تنفس می‌شود. ثانیاً اندازه‌ی تنفس در همین نقاط تمرکز تنفس موجود، افزایش قابل توجهی دارد، پس به همین دلیل است که جدایش در فصل مشترک ذرات بزرگ‌تر، در تنفس کمتری نسبت به ذرات کوچک‌تر اتفاق می‌افتد [۱۵].

از این‌رو، تشکیل پارگی مطرح شده می‌تواند به رشد ترک ناشی از جدایش در فصل مشترک ذرات تقویت کننده، نسبت داده شود. یعنی این که ترک از قسمتی که ذرات آگلومره وجود دارند، شروع شده و با گسترش بیشتر، سطح مقطعی که تنفس‌های ناشی از حرکت خراشیده، را تحمل می‌کند، کوچک‌تر شده و پلیمر پاره می‌شود. با توجه به شکل (۹)، اگر از سمت راست آنها بررسی شوند، در ترک سه‌می‌اول و سوم، پارگی مشاهده می‌شود. پس می‌توان گفت که در این ناحیه، جدایش در فصل مشترک ذرات و زمینه منجر به تشکیل ترک مویی

در رابطه با تشکیل ترک‌های سه‌می‌نیز پدیده‌ی "چسبیدن - لغزش" نقش کلیدی دارد. در نیروهای عمودی کوچک، اینرسی حرکت نوک خراشیده و مقاومت اصطکاکی کم در سطح ماده، به راحتی جلوی تشکیل مراحل "چسبیدن - لغزش" را می‌گیرد. اما با اعمال نیروی عمودی بزرگ‌تر، عمق خراش افزایش یافته و ماده‌ی بیشتری جلوی خراشیده، تجمع می‌یابد و از این‌رو فرایند "چسبیدن - لغزش" بیشتر غالب می‌شود [۱۳]. همان‌گونه که بیان شد در مرحله‌ی "لغزش" نوک خراشیده، اتصال خود را با پلیمر از دست داده و از روی ماده‌ی تجمع یافته، می‌لغزد. حال با توجه به این که نیروی عمودی N ۲۵ برای پلی‌اتیلن، نسبتاً بزرگ است، پس در حین مرحله‌ی لغزش، خراشیده برآمدگی ایجاد شده را فشرده کرده و سپس عبور می‌کند [۱۱]. از این‌رو چنین ساختار ترک‌گونه‌ای در سطح فیلم پلی‌اتیلن، قابل توجیه می‌باشد.

تصویر SEM از سطح خراش فیلم پلی‌اتیلن تقویت‌شده با ۱۰ درصد وزنی نانوکربنات کلسیم در شکل (۹) ارائه شده است. همان‌گونه که مشخص است مقدار تغییرشکل ناشی از خراش در نانوکامپوزیت نسبت به پلی‌اتیلن خالص شدت بیشتری دارد. همان‌گونه که قبل‌اً بیان شد، در حین خراش، تنشی اصلی با ماهیت کششی روی سطح نمونه و در پشت خراشیده متحرک، ایجاد می‌شود که هم راستا با جهت خراش است. مقدار این تنش با افزایش مدول الاستیک افزایش می‌یابد [۴]. پس می‌توان نتیجه گرفت که در کامپوزیت پلی‌اتیلن ۱۰٪ وزنی کربنات کلسیم مقدار این تنش بیشتر است و همین عامل موجب سیلان موسمان و پارگی ماده در سطح می‌گردد. تاثیر افزودن کربنات کلسیم به زمینه‌ی پلی‌اتیلن در ایجاد سیلان موسمان در سطح، را می‌توان در نتایج حاصل از پژوهش‌های تانیرو و همکارانش [۱] در رابطه با خراش پلی‌اتیلن تقویت‌شده با کربنات کلسیم، نیز مشاهده کرد. البته وجود جدایش در فصل مشترک ذره - زمینه نیز عاملی برای افزایش تغییرشکل در سطح خراش می-

2. Dasari, J. Rohrmann, and R.D.K. Misra, "Micro- and Nanoscale Evaluation of Scratch Damage in Poly(propylene)s", *Macromolecular Mater. Eng.* Vol. 287 No.12, pp 889-903, 2002.
3. R. Hadal, A. Dasari, J. Rohrmann, and R.D.K. Misra, "Susceptibility to scratch surface damage of wollastonite- and talc-containing polypropylene micrometric composites", *Mat. Sci. Eng. Part A* Vol. 380, pp 326-339, 2004.
4. C. Xiang, H.-J. Sue, J. Chu, and B. Coleman, "Scratch Behavior and Material Property Relationship in Polymers", *J. Polym. Sci. Part B: Polymer Physics*, Vol. 39, pp 47-59, 2001.
5. S.K. Sinha, and D.B.J. Lim, "Effects of normal load on single-pass scratching of polymer surfaces", *Wear*, Vol. 260, pp 751-765, 2006.
6. R. Hadal, Q. Yuan, J.P. Jog, and R.D.K. Misra, "On stress whitening during surface deformation in clay-containing polymer nanocomposites: A microstructural approach", *Mat. Sci. Eng. Part A*, Vol. 418, pp 268-281, 2006.
7. G.H. Michler, and F.J. Baltá-Calleja, "Mechanical Properties of Polymers Based on Nanostructure and Morphology", Taylor & Francis Group, 2005.
8. M.M. Shahin, R.H. Olley, and M.J. Blissett, "Refinement of Etching Techniques to Reveal Lamellar Profiles in Polyethylene Banded Spherulites", *J. Polymer Science Part B: Polymer Physics*, Vol. 37 No. 16, pp 2279-2286, 1999.
9. آرزو سزاوار، سید مجتبی زبرجد، سید عبدالکریم سجادی، "تأثیر نیرو و نانوذرات آلومینا بر مکانیزم های ایجاد آسیب ناشی از خراش نانوکامپوزیت زمینه پلی متیل متاکریلات"، مجله مواد نوین، جلد ۲، شماره ۳، صفحه ۳۹-۱۳۹۱.
10. ASTM International, ASTM G 171-03: Standard test method for scratch hardness of materials Using a

شده و با رشد بیشتر این ترک، پارگی پلیمر هم رخ داده است.

نتیجه‌گیری

در این پژوهش، فیلم‌های پلی‌اتیلن خالص و پلی‌اتیلن تقویت‌شده با ۵٪ و ۱۰٪ درصد وزنی نانوذرات کربنات کلسیم، تولید و رفتار خراشی آنها مورد ارزیابی قرار گرفت. نتایج بدست آمده به شرح ذیل می‌باشند و بیانگر تاثیر نیروی عمودی خراش و درصد فاز تقویت‌کننده، بر رفتار خراش نمونه‌ها هستند.

قطر متوسط اسفولیت‌ها از $223\text{ }\mu\text{m}$ در پلی‌اتیلن خالص به ۱۴۶ در پلی‌اتیلن تقویت‌شده با ۱۰٪ وزنی کربنات کلسیم، کاهش می‌یابد.

با افزایش درصد وزنی کربنات کلسیم در زمینه پلی‌اتیلن، سختی خراش افزایش می‌یابد و بیشترین آن، متعلق به نانوکامپوزیت پلی‌اتیلن تقویت‌شده با ۱۰٪ درصد وزنی CaCO_3 و در نیروی 5 N معادل $77/5\text{ MPa}$ است.

با افزایش نیروی عمودی از ۵ به 15 N ، تاثیر مثبت افزایش درصد وزنی نانوذرات کربنات کلسیم، بر افزایش مقاومت خراشی پلی‌اتیلن، برای نانوکامپوزیت پلی‌اتیلن -10% کربنات کلسیم از $70/9\text{ MPa}$ به $77/5\text{ MPa}$ کاهش می‌یابد.

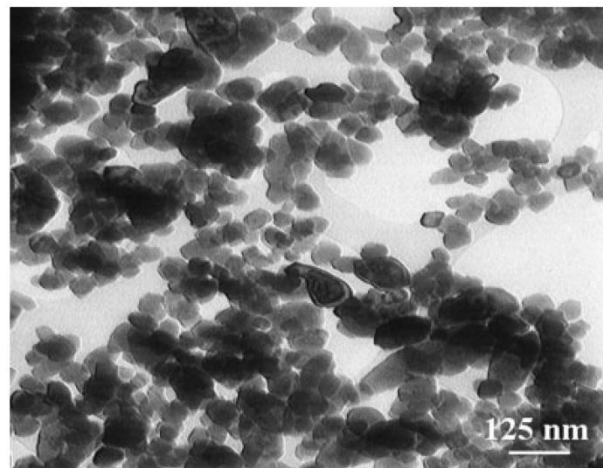
افزایش نیروی عمودی در خراش فیلم پلی‌اتیلن، موجب تشدید مکانیزم خراش از "شخم‌زن نرم" به "پولک ماهی" و در نانوکامپوزیت پلی‌اتیلن -10% کربنات کلسیم، از "شخم‌زن نرم" به "کشش مومسان" می‌گردد.

References

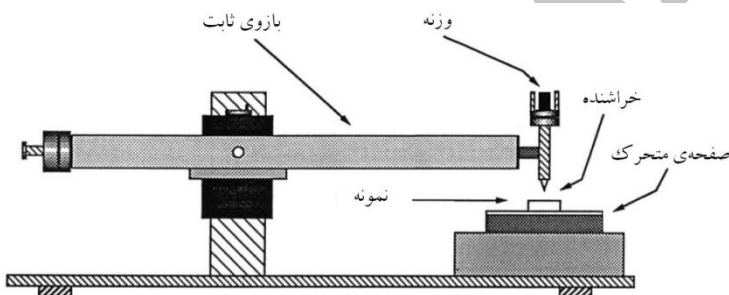
1. M. Tanniru, R.D.K. Misra, K. Berbrand, and D. Murphy, "The determining role of calcium carbonate on surface deformation during scratching of calcium carbonate-reinforced polyethylene composites", *Mater. Sci. Eng. A*, Vol. 404, pp 208-220, 2005.

۱۴. سمانه صاحبیان سقی، پایان‌نامه کارشناسی ارشد، "بررسی رفتار خوشی پلی‌اتیلن با چگالی متوسط و نانوکامپوزیتهاي پلی‌اتیلن تقویت شده با نانوذرات کربنات کلسیم"، دانشگاه فردوسی مشهد، ۱۳۸۶.
15. S. Sahebian, S. M. Zebarjad, S. A. Sajjadi, Z. Sherafat, and A. Lazzeri, "Effect of Both Uncoated and Coated Calcium Carbonate on Fracture Toughness of HDPE/CaCO₃ Nanocomposites", *J. App. Poly. Sci.*, Vol. 104, pp 3688-3694, 2007.
- Diamond Stylus, Annual Book of ASTM Standards, 3.02, 2003.
11. B.J. Briscoe, P.D. Evans, E. Pelillo, and S.K. Sinha, "Scratching maps for polymers", *Wear*, Vol. 200, pp 137-147, 1996.
12. B.J. Briscoe, E. Pelillo, and S.K. Sinha, "Scratch Hardness and Deformation Maps for Polycarbonate and Polyethylene", *Polym. Eng. Sci.*, Vol. 36 No. 24, pp 2996-3005, 1996.
13. H. Jiang, R. Browning, and H.-J. Sue, "Understanding of scratch-induced damage mechanisms in polymers", *Polymer*, Vol. 50, pp 4056-4065, 2009.

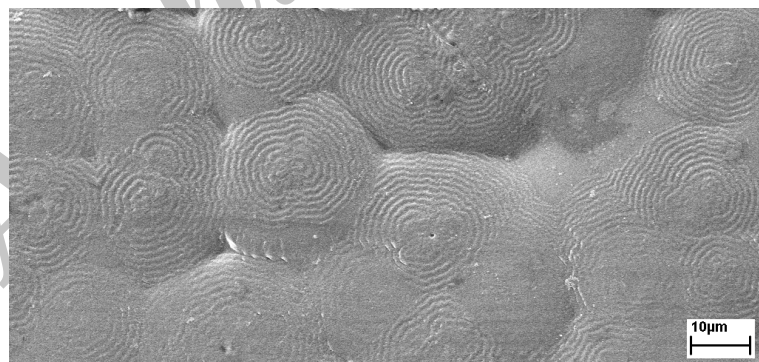
پیوست‌ها



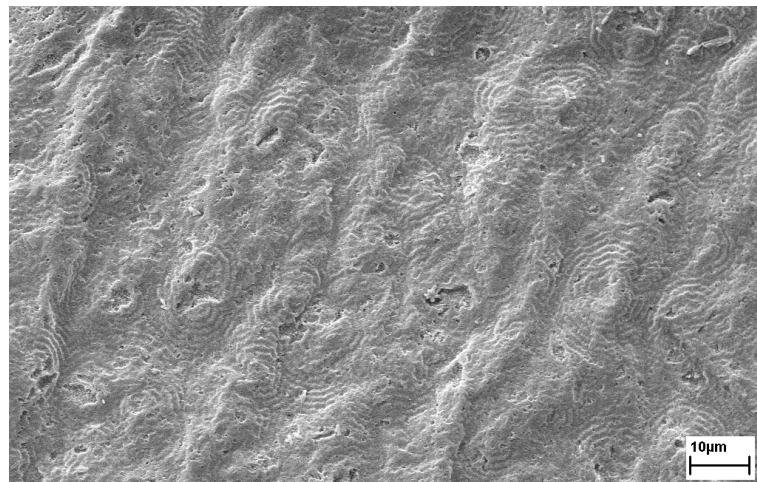
شکل ۱- تصویر میکروسکوپ الکترونی عبوری از نانو پودر کربنات کلسیم [۱۴].



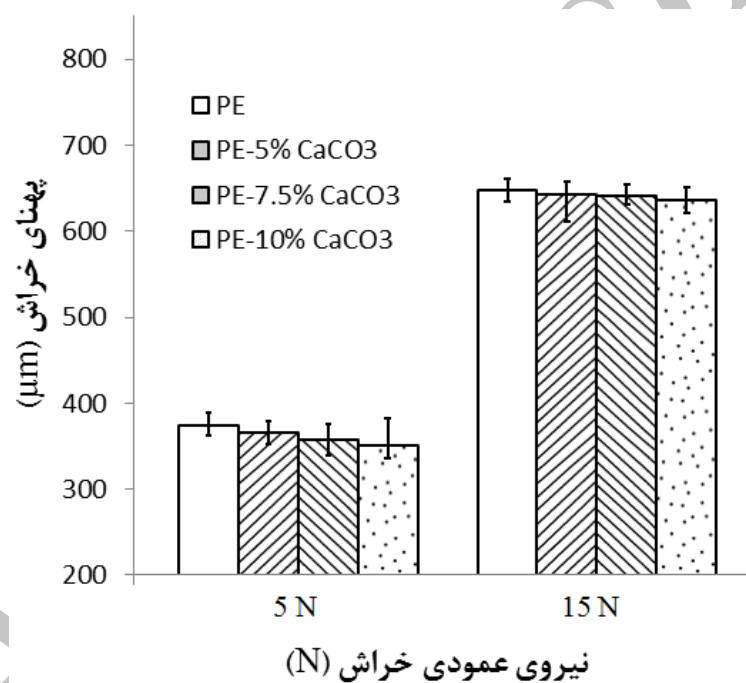
شکل ۲- شماتیک دستگاه خراش مورد استفاده



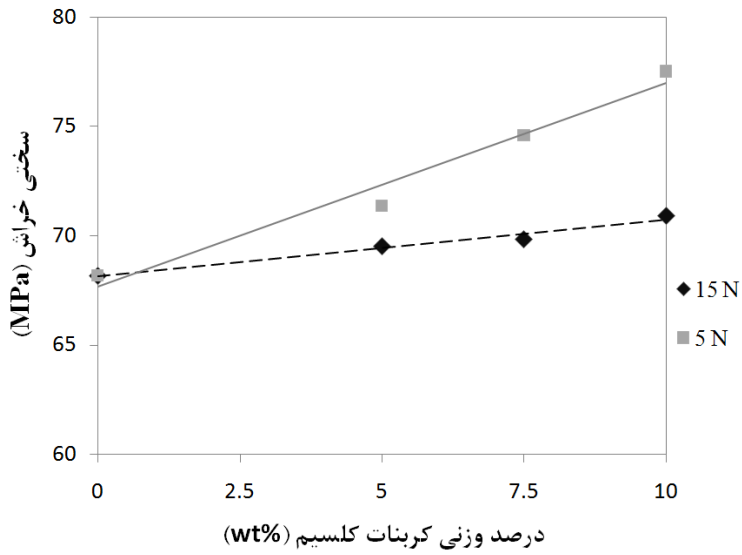
شکل ۳- تصویر SEM از ریزساختار اسفولیتی پلی‌اتیلن که در حلحل تولوئن متبلور شده است.



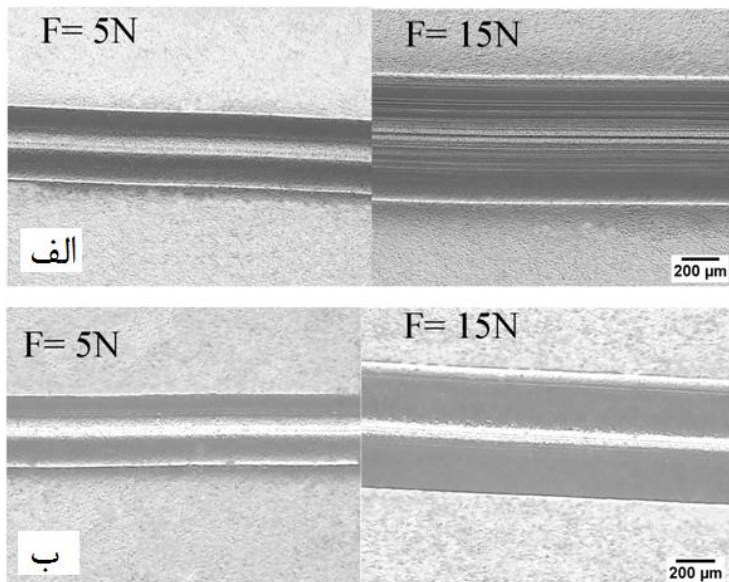
شکل ۴- تصاویر SEM در بزرگنمایی‌های گوناگون از ریزساختار اسفروولیتی پلی‌اتیلن تقویت شده با ۱۰ $\text{wt}\%$ نانوذرات کربنات کلسیم، که در حلال تولوئن متابور شده است.



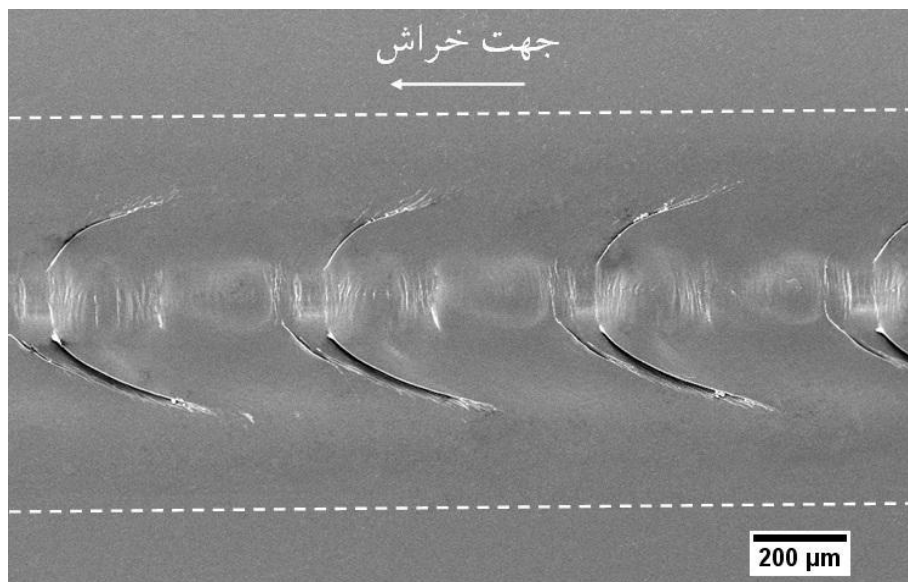
شکل ۵- نمودار پهنای خراش پلی‌اتیلن و نانوکامپوزیت‌هایش، برای نیروهای عمودی ۵ و ۱۵ نیوتون



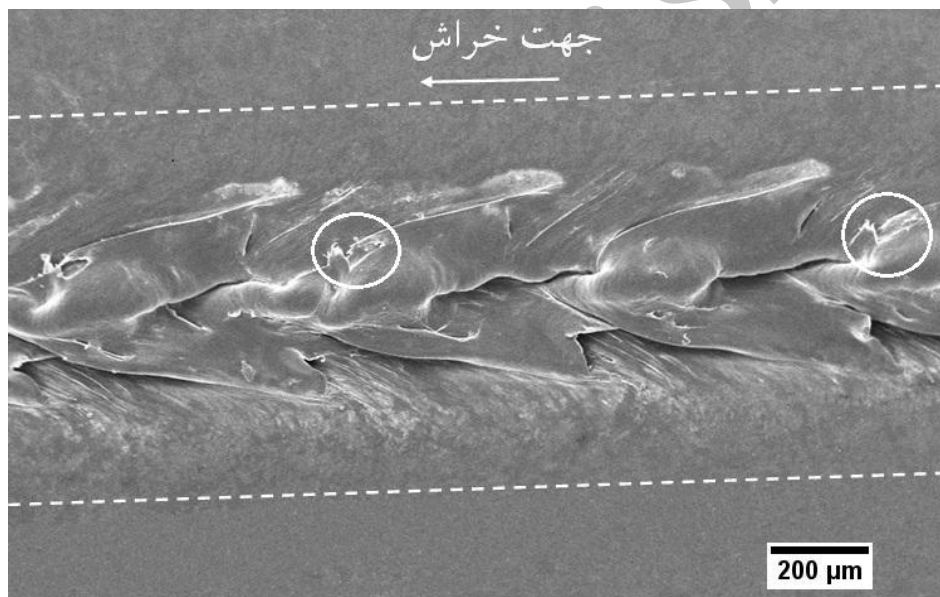
شکل ۶ - منحنی سختی خراش برای پلی اتیلن و نانو کامپوزیت های آن، بر حسب درصد وزنی فاز تقویت کننده، در نیروهای عمودی خراش ۵ و ۱۵ نیوتون.



شکل ۷- تصاویر میکروسکوپ نوری از سطح خراش فیلم (الف) پلی اتیلن و (ب) نانو کامپوزیت پلی اتیلن - ۱۰٪ - ۱۰٪ وزنی کربنات کلسیم، در نیروهای عمودی خراش ۵ و ۱۵ نیوتون.



شکل ۸- تصویر SEM از سطح شیار خراش فیلم پلی اتیلن در نیروی عمودی N ۲۵ که لبه‌های خراش با خطچین مشخص شده است.



شکل ۹- تصویر SEM از سطح شیار خراش فیلم نانوکامپوزیت پلی اتیلن تقویت شده با ۱۰٪ وزنی کربنات کلسیم، در نیروی عمودی N ۲۵ که لبه‌های خراش با خطچین مشخص شده است.